

Välikoe 1, 25.2.2011

Piirrostehtävissä merkitse näkyviin mahdollisimman paljon tietoa, jolla ilmaiset ymmärtäneesi tarkasteltavan ilmiön.

1. a) ^{14}C -ajoitusmenetelmä perustuu ^{14}C ja ^{12}C isotooppien suhteellisten osuuksien muuttumiseen ajan kuluessa. Eräässä puunäytteessä on ^{14}C ja ^{12}C atomien lukumäärien suhde kymmenesosa tuoreesta puusta otetun näytteen vastaavasta suhteesta. Laske vanhan näytteen ikä. Isotoopin ^{14}C puoliintumisaika on 5700 vuotta ja ^{12}C on hiilen stabiili isotoippi.
 b) Yksi gramma kobolttia on $10^{12} \text{n/cm}^2\text{s}$ suuruisessa termisessä neutronivuossa 10 vuorokautta. Kuinka suuri on tuotonopeus ja mikä on ^{60}Co -aktiivisuus säteilytyksen päätyttyä, kun ^{60}Co isotoopin puoliintumisaika on 5.272 vuotta? Termisten neutronien sieppausvaikutusala ^{59}Co :lle on 3700 fm^2 ja ^{59}Co :n moolimassa 58.933198 g/mol . Avogadron luku $N_A = 6.022045 \cdot 10^{23} \text{ mol}^{-1}$.
2. (a) Määritä perustilan spin ja pariteetti I^π ytimille ^{102}Zr , ^{15}N , ^{57}Ni .
 (b) Tarkastele ^{17}O ytimen alimpien tilojen $5/2^+$, $1/2^+$ ja $1/2^-$ mahdollista syntyperää kuorimallin avulla.
 (c) Tarkastellaan ydintä $^{88}\text{Y}_{49}$.
 - (i) Määritä vuorovaikutuksettoman kuorimallin mahdolistamat perustilan spinin I ja pariteetin π arvot.
 - (ii) Määritellään pariton-parittomille ytimille suure $N \equiv j_p - \ell_p + j_n - \ell_n$, missä p viittaa protoniin ja n neutroniin. Nordheimin säännön mukaan perustilan spin on

$$I = |j_n - j_p|, \text{ kun } N = 0$$

$$I = j_n + j_p \text{ tai } |j_n - j_p|, \text{ kun } N = \pm 1.$$
 Sovella tätä sääntöä ytimeen ^{88}Y . Onko tulos yhtensopiva (i)-kohdan kanssa?
3. (a) Tarkastellaan ytimen $^{64}\text{Cu}_{35}$ perustilan beetahajoamista, joka johtaa ytimen $^{64}\text{Zn}_{34}$ perus- ja viritystiloille. Hajoamiseen liittyvä puoliintumisaika $T_{1/2}$ on 12.7 tuntia. Perustilalle johtavalle hajoamiselle $Q_\beta = 579 \text{ keV}$ ja haarauma $b_{g.s.} = 39 \%$. Mikä ja miksi on ennusteesi ytimen ^{64}Cu perustilan spinille ja pariteetille?
 (b) Oheinen kuva esittää ^{96}Sr -isotoopin β^- -hajoamista. Sen ja ^{96}Y -tytärytimen perustilan energiaero on 5.371 MeV . Tilojen viritysenergiat on annettu keV-yksiköissä. Hahmottele ^{96}Sr :n β -spektri.
4. Kuvitteellinen ^{168}Os -isotoippi on rakenteeltaan ideaalinen roottori aina 8^+ tilaan asti. Kyseisen tilan energia on 1097 keV . Saman ytimen viritystiloja syötetään emoytimen alfahajoamisessa niin, että ensimmäiselle viritystilalle johtaa alfahajoaminen, jonka energiaksi on mittauksissa saatu 7043 keV .
 - (a) Mikä on ennusteesi alfahajoamisen tytärytimen alimman viritystilan spiniksi, pariteetiksi ja viritysenergiaksi?
 - (b) Mikä on emoydin ja kuinka suuri on emoytimen alfahajoamisen Q -arvo.

Laskuissa mahdollisesti tarvittavaa materiaalia:

$$B = a_V A - a_S A^{2/3} - a_C \frac{Z(Z-1)}{A^{1/3}} - a_{SYM} \frac{(A-2Z)^2}{A} + \delta$$

$$E_c = \frac{3}{5} \cdot \frac{1}{4\pi\epsilon_0} \cdot \frac{(Z \cdot e)^2}{R} \quad E(I) = \frac{\hbar^2}{2J} I(I+1)$$

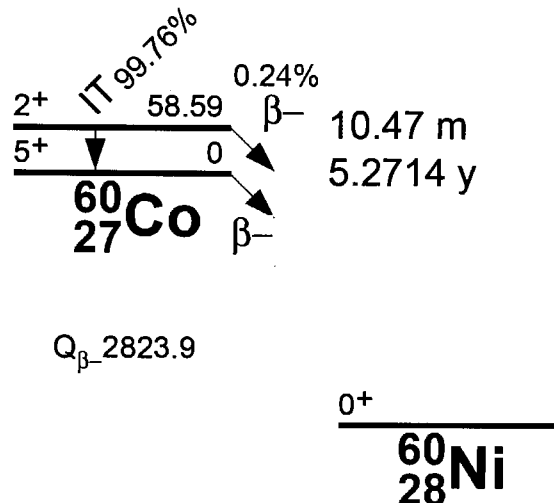
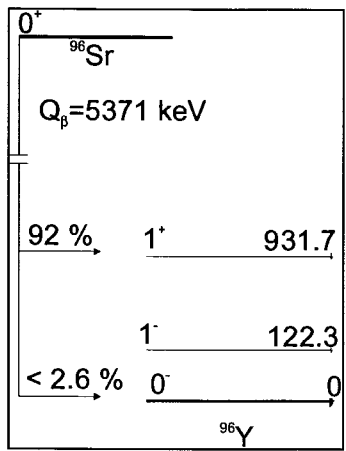
$$\mathcal{J} \cong \frac{2}{5} M R_{keskim}^2 (1 + 0.31\beta)$$

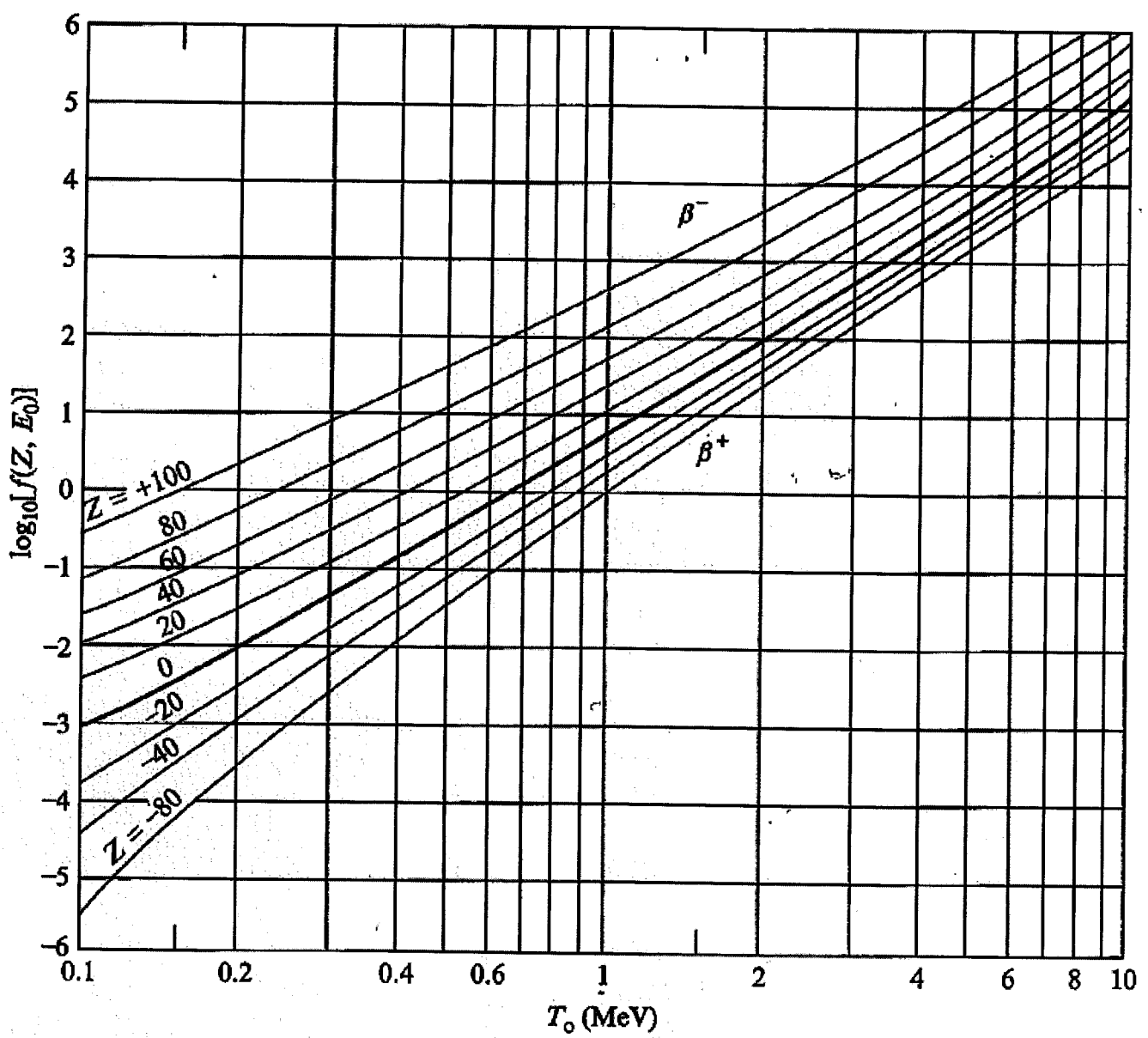
$$\log T_{1/2} = 1.61 \left(Z E_\lambda^{-1/2} - Z^{2/3} \right) - 28.9 \text{ MeV}$$

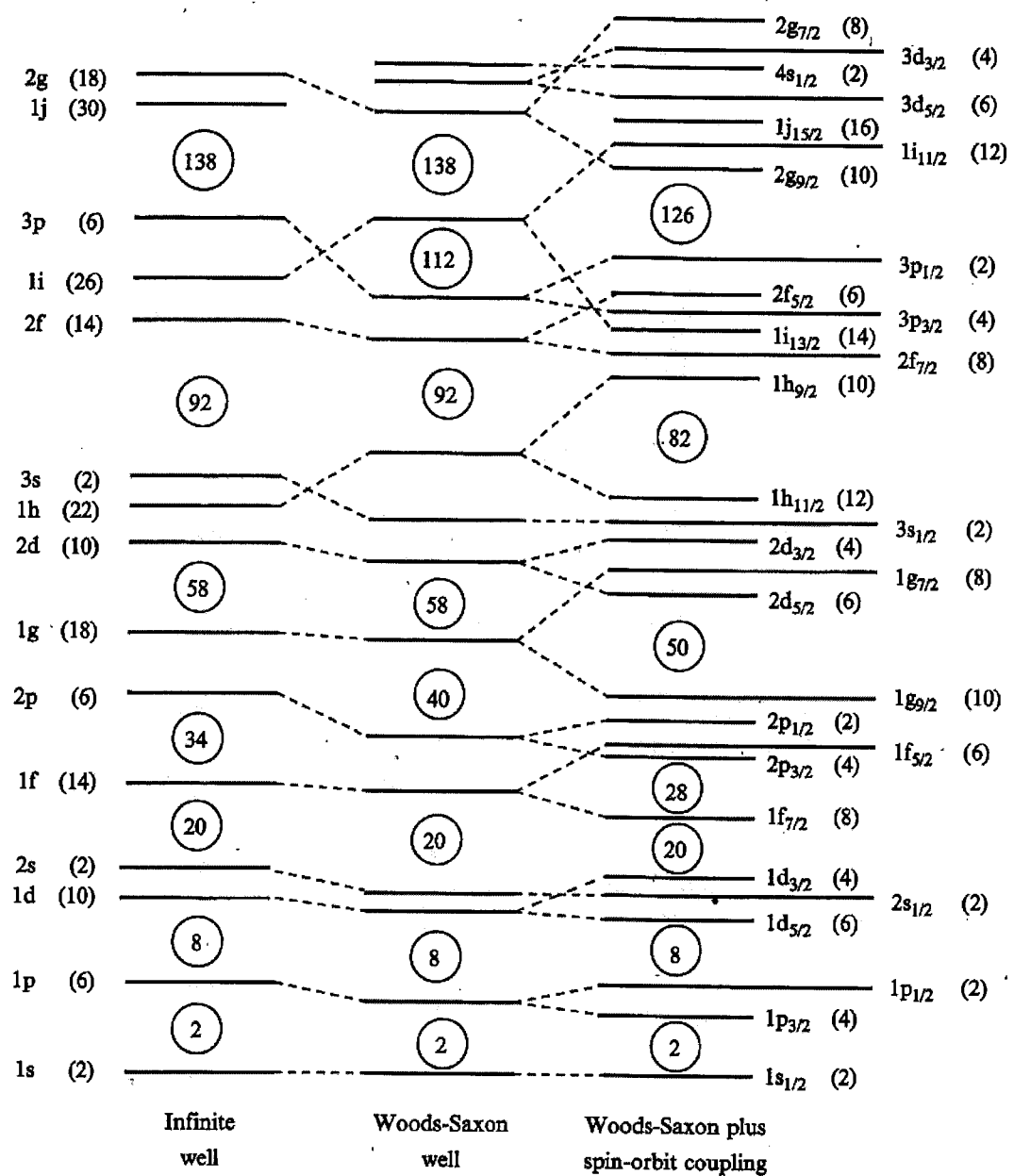
$$\frac{d\lambda(p_e)}{dp_e} \propto N(p_e) \propto p_e^{-2} (E_0 - E_e)^2 F(Z, E_e) \quad \lambda = C |M_{if}|^2 f(Z, E_0)$$

Massoja:

$m(n) = 1.008665 \text{ u}$
$m(p) = 1.007277 \text{ u}$
$m(d) = 2.013553 \text{ u}$
$m(\alpha) = 4.001507 \text{ u}$







A-5

Table 2. Elemental Abundances

Z	El	Solar System (%)	Abundance in the Earth's Crust (mg/kg)	Abundance in the Earth's Sea (mg/L)	Z	El	Solar System (%)	Abundance in the Earth's Crust (mg/kg)	Abundance in the Earth's Sea (mg/L)
1	H	91.0 ²³	1400	1.08×10 ⁵	47	Ag	1.58×10 ⁻⁹ ⁵	0.075	4×10 ⁻⁵
2	He	8.9 ⁵	0.008	7×10 ⁻⁶	48	Cd	5.3×10 ⁻⁹ ³	0.15	1.1×10 ⁻⁴
3	Li	1.86×10 ⁻⁷ ¹⁷	20	0.18	49	In	6.0×10 ⁻¹⁰ ⁴	0.25	0.02
4	Be	2.38×10 ⁻⁹ ²³	2.8	5.6×10 ⁻⁶	50	Sn	1.25×10 ⁻⁸ ¹²	2.3	4×10 ⁻⁶
5	B	6.9×10 ⁻⁸ ⁷	10	4.44	51	Sb	1.01×10 ⁻⁹ ¹⁸	0.2	2.4×10 ⁻⁴
6	C	0.033	200	28	52	Te	1.57×10 ⁻⁸ ¹⁶	0.001	
7	N	0.0102	19	0.5	53	I	2.9×10 ⁻⁹ ⁶	0.45	0.06
8	O	0.078 ⁸	4.61×10 ⁵	8.57×10 ⁵	54	Xe	1.5×10 ⁻⁸ ³	3×10 ⁻⁵	5×10 ⁻⁵
9	F	2.7×10 ⁻⁶ ⁴	585	1.3	55	Cs	1.21×10 ⁻⁹ ⁷	3	3×10 ⁻⁴
10	Ne	0.0112 ¹⁶	0.005	1.2×10 ⁻⁴	56	Ba	1.46×10 ⁻⁸ ⁹	425	0.013
11	Na	0.000187 ¹³	2.36×10 ⁴	1.08×10 ⁴	57	La	1.45×10 ⁻⁹ ³	39	3.4×10 ⁻⁶
12	Mg	0.00350 ¹³	2.33×10 ⁴	1290	58	Ce	3.70×10 ⁻⁹ ⁶	66.5	1.2×10 ⁻⁶
13	Al	0.000277 ¹⁰	8.23×10 ⁴	0.002	59	Pr	5.44×10 ⁻¹⁰ ¹³	9.2	6.4×10 ⁻⁷
14	Si	0.00326 ¹⁴	2.82×10 ⁵	2.2	60	Nd	2.70×10 ⁻⁹ ⁴	41.5	2.8×10 ⁻⁶
15	P	3.4×10 ⁻⁵ ³	1050	0.06	61	Prm			
16	S	0.00168 ²²	350	905	62	Sm	8.42×10 ⁻¹⁰ ¹¹	7.05	4.5×10 ⁻⁷
17	Cl	1.7×10 ⁻⁵ ³	145	1.94×10 ⁴	63	Eu	3.17×10 ⁻¹⁰ ⁵	2.0	1.3×10 ⁻⁷
18	Ar	0.000329 ²⁰	3.5	0.45	64	Gd	1.076×10 ⁻⁹ ¹⁵	6.2	7×10 ⁻⁷
19	K	1.23×10 ⁻⁵ ⁹	2.09×10 ⁴	399	65	Tb	1.97×10 ⁻¹⁰ ⁴	1.2	1.4×10 ⁻⁷
20	Ca	0.000199 ¹⁴	4.15×10 ⁴	412	66	Dy	1.286×10 ⁻⁹ ¹⁸	5.2	9.1×10 ⁻⁷
21	Sc	1.12×10 ⁻⁷ ¹⁰	22	6×10 ⁻⁷	67	Ho	2.90×10 ⁻¹⁰ ⁷	1.3	2.2×10 ⁻⁷
22	Ti	7.8×10 ⁻⁶ ⁴	5650	0.001	68	Er	8.18×10 ⁻¹⁰ ¹¹	3.5	8.7×10 ⁻⁷
23	V	9.6×10 ⁻⁷ ⁵	120	0.0025	69	Tm	1.23×10 ⁻¹⁰ ³	0.52	1.7×10 ⁻⁷
24	Cr	4.4×10 ⁻⁵ ³	102	3×10 ⁻⁴	70	Yb	8.08×10 ⁻¹⁰ ¹³	3.2	8.2×10 ⁻⁷
25	Mn	3.1×10 ⁻⁵ ³	950	2×10 ⁻⁴	71	Lu	1.197×10 ⁻¹⁰ ¹⁶	0.8	1.5×10 ⁻⁷
26	Fe	0.00294 ⁸	5.63×10 ⁴	0.002	72	Hf	5.02×10 ⁻¹⁰ ¹⁰	3.0	7×10 ⁻⁶
27	Co	7.3×10 ⁻⁶ ⁵	25	2×10 ⁻⁵	73	Ta	6.75×10 ⁻¹¹ ¹²	2.0	2×10 ⁻⁶
28	Ni	0.000161 ⁸	84	5.6×10 ⁻⁴	74	W	4.34×10 ⁻¹⁰ ²²	1.25	1×10 ⁻⁴
29	Cu	1.70×10 ⁻⁶ ¹⁹	60	2.5×10 ⁻⁴	75	Re	1.69×10 ⁻¹⁰ ¹⁶	7×10 ⁻⁴	4×10 ⁻⁶
30	Zn	4.11×10 ⁻⁶ ¹⁸	70	0.0049	76	Os	2.20×10 ⁻⁹ ¹⁴	0.0015	
31	Ga	1.23×10 ⁻⁷ ⁸	19	3×10 ⁻⁵	77	Ir	2.16×10 ⁻⁹ ¹³	0.001	
32	Ge	3.9×10 ⁻⁷ ⁴	1.5	5×10 ⁻⁵	78	Pt	4.4×10 ⁻⁹ ³	0.005	
33	As	2.1×10 ⁻⁸ ³	1.8	0.0037	79	Au	6.1×10 ⁻¹⁰ ⁹	0.004	4×10 ⁻⁶
34	Se	2.03×10 ⁻⁷ ¹³	0.05	2×10 ⁻⁴	80	Hg	1.11×10 ⁻⁹ ¹³	0.085	3×10 ⁻⁵
35	Br	3.8×10 ⁻⁶ ⁷	2.4	67.3	81	Tl	6.0×10 ⁻¹⁰ ⁶	0.85	1.9×10 ⁻⁵
36	Kr	1.5×10 ⁻⁷ ³	1×10 ⁻⁴	2.1×10 ⁻⁴	82	Pb	1.03×10 ⁻⁸ ⁸	14	3×10 ⁻⁵
37	Rb	2.31×10 ⁻⁸ ¹⁵	90	0.12	83	Bi	4.7×10 ⁻¹⁰ ⁴	0.0085	2×10 ⁻⁵
38	Sr	7.7×10 ⁻⁸ ⁶	370	7.9	84	Po		2×10 ⁻¹⁰	1.5×10 ⁻¹⁴
39	Y	1.51×10 ⁻⁸ ⁹	33	1.3×10 ⁻⁵	85	At			
40	Zr	3.72×10 ⁻⁸ ²⁴	165	3×10 ⁻⁵	86	Rn		4×10 ⁻¹³	6×10 ⁻¹⁶
41	Nb	2.28×10 ⁻⁹ ³	20	1×10 ⁻⁵	87	Fr			
42	Mo	8.3×10 ⁻⁹ ⁵	1.2	0.01	88	Ra		9×10 ⁻⁷	8.9×10 ⁻¹¹
43	Tc				89	Ac		5.5×10 ⁻¹⁰	
44	Ru	6.1×10 ⁻⁹ ³	0.001	7×10 ⁻⁷	90	Th	1.09×10 ⁻¹⁰ ⁶	9.6	1×10 ⁻⁶
45	Rh	1.12×10 ⁻⁹ ⁹	0.001		91	Pa		1.4×10 ⁻⁶	5×10 ⁻¹¹
46	Pd	4.5×10 ⁻⁹ ³	0.015		92	U	2.94×10 ⁻¹¹ ²⁵	2.7	0.0032

Quantity	Symbol, equation	Value	Uncert. (ppm)
speed of light in vacuum ⁴	c	2.997 924 58×10 ¹⁰ cm s ⁻¹	0
Planck constant	h	6.626 075 5(40)×10 ⁻³⁷ erg s	0.60
Planck constant, reduced	$\hbar = h/2\pi$	1.054 572 66(63)×10 ⁻³⁷ erg s = 6.582 122 0(20)×10 ⁻²² MeV s	0.60
electron charge magnitude	e	4.803 206 8(15)×10 ⁻¹⁰ esu = 1.602 177 33(49)×10 ⁻¹⁹ coulomb	0.30
conversion constant	$\frac{\hbar c}{e}$	197.327 053(59) MeV fm	0.30
conversion constant	$(\frac{\hbar c}{e})^2$	0.389 379 66(23) GeV ² mbarn	0.59
electron mass	m_e	0.510 999 06(15) MeV/c ² = 9.109 389 7(54)×10 ⁻²⁸ g	0.30, 0.59
proton mass	m_p	938.272 31(28) MeV/c ² = 1.672 623 1(10)×10 ⁻²⁴ g	0.30, 0.59
neutron mass	m_n	939.565 63(28) MeV/c ² = 1.674 928 6(10)×10 ⁻²⁴ g = 1.008 664 904(14) amu	0.30, 0.59 0.014
deuteron mass	m_d	1875.613 39(57) MeV/c ²	0.30
atomic mass unit (amu)	(mass C ¹² atom)/12 = (1 g)/N _A	931.494 32(28) MeV/c ² = 1.660 540 2(10)×10 ⁻²⁴ g	0.30, 0.59
electron charge to mass ratio	e/m_e	5.272 808 6(16)×10 ¹⁷ esu g ⁻¹ = 1.758 819 62(53)×10 ⁴ coulomb g ⁻¹	0.30
quantum of magnetic flux	h/e	4.135 669 2(12)×10 ⁻¹⁵ joule s coulomb ⁻¹	0.30
Josephson frequency-voltage ratio	2e/h	4.835 976 7(14)×10 ¹⁴ cycles s ⁻¹ V ⁻¹	0.30
Faraday constant	F	9.648 530 9(29)×10 ⁴ coulomb mol ⁻¹	0.30
fine-structure constant	$\alpha = e^2/\hbar c$	1/137.035 989 5(61)	0.045
classical electron radius	$r_e = e^2/m_e c^2$	2.817 940 92(38) fm	0.13
electron Compton wavelength	$\lambda_e = \hbar/m_e c = r_e \alpha^{-1}$	3.861 593 23(35)×10 ⁻¹¹ cm	0.089
proton Compton wavelength	$\lambda_p = \hbar/m_p c$	2.103 089 37(19)×10 ⁻¹⁴ cm	0.089
neutron Compton wavelength	$\lambda_n = \hbar/m_n c$	2.100 194 45(19)×10 ⁻¹⁴ cm	0.089
Bohr radius ($m_{nucleus} = \infty$)	$a_0 = \hbar^2/m_e e^2 = r_e \alpha^{-2}$	0.529 177 249(24)×10 ⁻⁸ cm	0.045
Rydberg energy	$hcR_\infty = m_e e^4/2\hbar^2 = m_e c^2 \alpha^2/2$	13.605 698 1(40) eV	0.30
Thomson cross section	$\sigma_T = 8\pi r_e^2/3$	0.665 246 16(18) barn	0.27
Bohr magneton	$\mu_B = e\hbar/2m_e c$	5.788 382 63(52)×10 ⁻¹⁵ MeV gauss ⁻¹	0.089
nuclear magneton	$\mu_N = e\hbar/2m_p c$	3.152 451 66(28)×10 ⁻¹⁹ MeV gauss ⁻¹	0.089
electron cyclotron frequency/field	$\omega_{cycl}^e/B = e/m_e c$	1.758 819 62(53)×10 ⁷ radian s ⁻¹ gauss ⁻¹	0.30
proton cyclotron frequency/field	$\omega_{cycl}^p/B = e/m_p c$	9.578 830 9(29)×10 ³ radian s ⁻¹ gauss ⁻¹	0.30
gravitational constant	G _N	6.672 59(85)×10 ⁻⁸ cm ³ g ⁻¹ s ⁻²	128
grav. acceleration, sea level, 45° lat.	g	980.665 cm s ⁻²	0
Fermi coupling constant	$G_F/(\hbar c)^3$	1.166 39(2)×10 ⁻⁵ GeV ⁻²	20
Avogadro number	N _A	6.022 136 7(36)×10 ²³ mol ⁻¹	0.59
molar gas constant, ideal gas at STP	R	8.314 510(70)×10 ⁷ erg mol ⁻¹ K ⁻¹	8.4
Boltzmann constant	k	1.380 658(12)×10 ⁻¹⁶ erg K ⁻¹ = 8.617 385(73)×10 ⁻⁵ eV K ⁻¹	8.5
molar volume, ideal gas at STP	N _A k(273.15 K)/(atmosphere)	22 414.10(19) cm ³ mol ⁻¹	8.4
Stefan-Boltzmann constant	$\sigma = \pi^2 k^4/60h^3c^2$	5.670 51(19)×10 ⁻⁵ erg s ⁻¹ cm ⁻² K ⁻⁴	34
first radiation constant	$2\pi\hbar c^2$	3.741 774 9(22)×10 ⁻⁵ erg cm ² s ⁻¹	0.60
second radiation constant	hc/k	1.438 769(12) cm K	8.4